

**Untersuchung der dynamischen  
und der geometrischen Phase des  
Stark-Zeeman-Effekts der  
Hyperfeinstruktur von  
Einelektronenatomen ( ${}^6\text{Li}$ )**

**Th. Heubrandtner<sup>1)</sup>, E. Röschl<sup>2)</sup>  
B. Schnizer**

**Institut für Theoretische Physik und  
Computational Physics, TU Graz**  
[http://www.itp.tu-graz.ac.at/~schnizer/Th\\_Atomic\\_Spectroscopy/](http://www.itp.tu-graz.ac.at/~schnizer/Th_Atomic_Spectroscopy/)

**M. Musso**

**Abteilung für Physik und Biophysik,  
Fachbereich Molekulare Biologie,  
Universität Salzburg**

1) jetzt: Magna Steyr, Graz

2) jetzt: Philips Forschungslaboratorien, Technische Systeme Hamburg

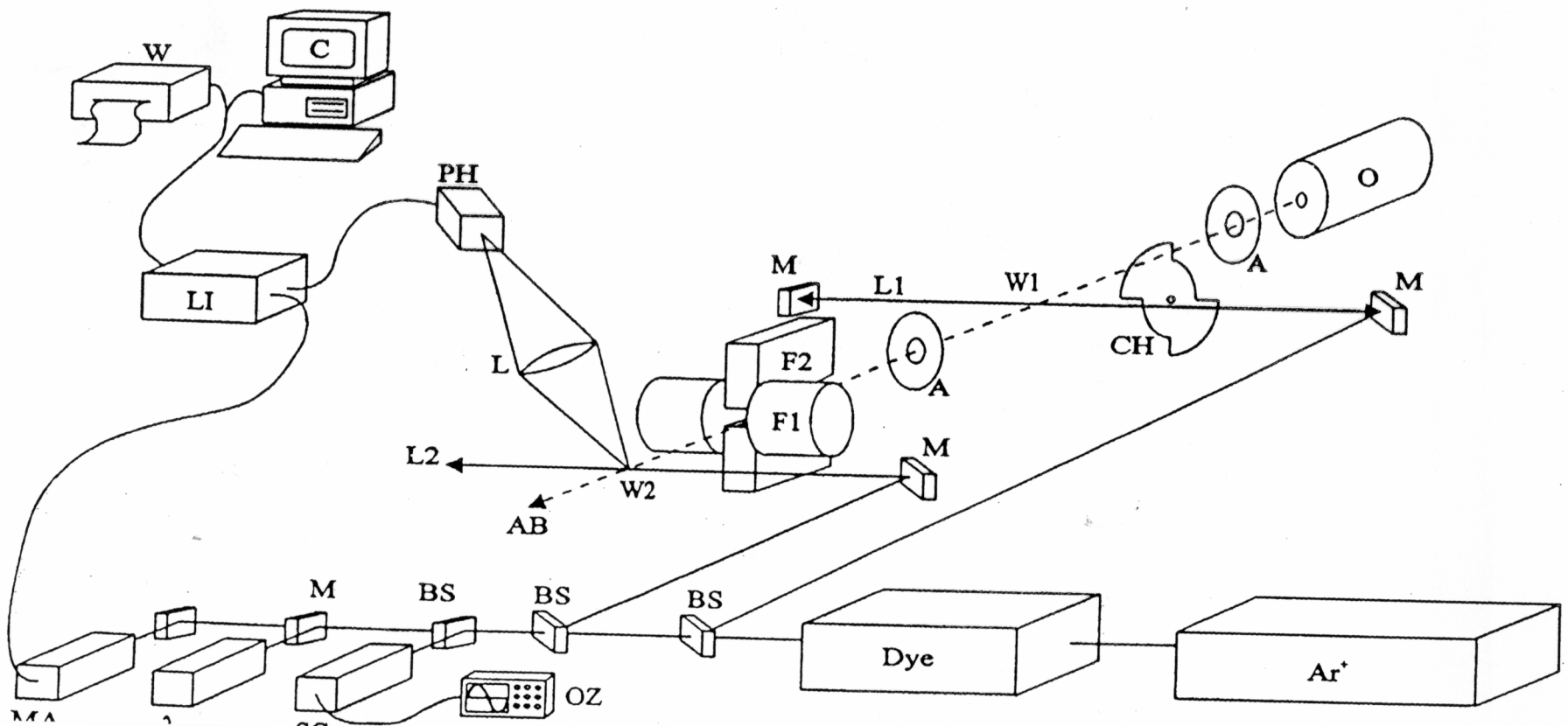
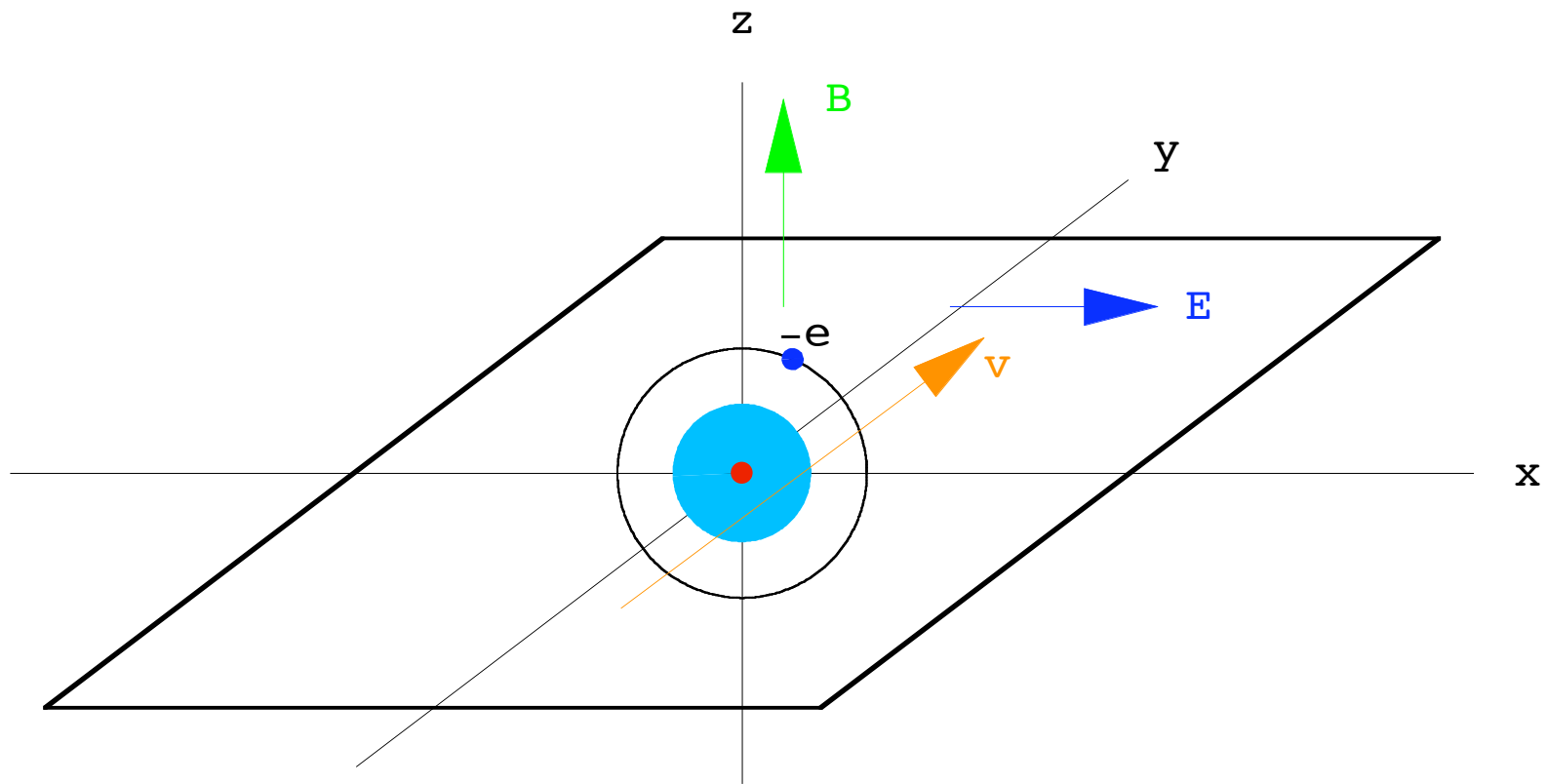
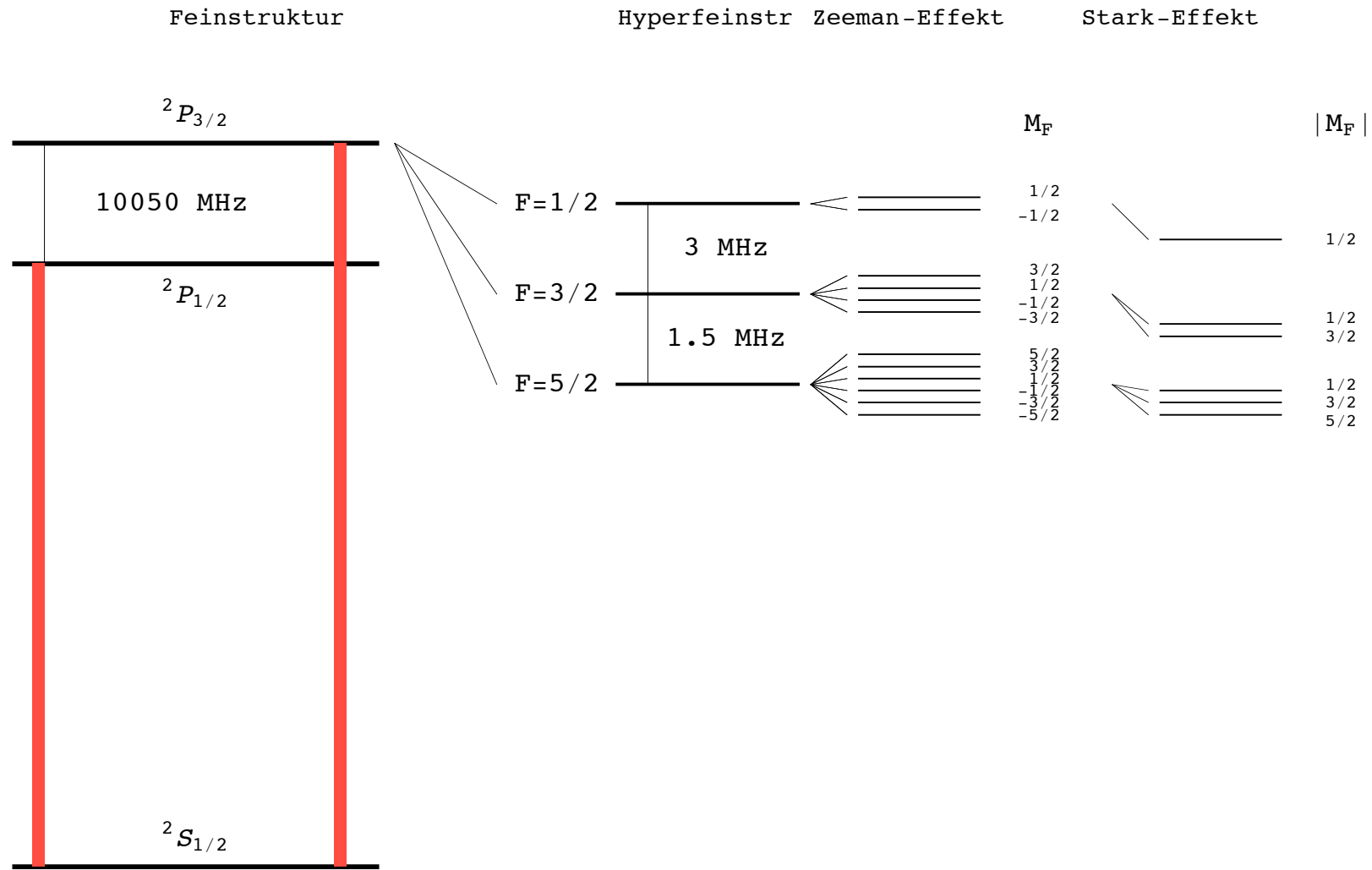


Figure 1: Versuchsaufbau zur Untersuchung der Wirkung hintereinander - geschalteter, gekreuzter elektrischer und magnetischer Felder auf die Besetzungsdichte der Hyperfeinstruktur von Gallium



## Das Atom in äußeren zeitabhängigen Feldern

ÖPG Jahrestagung 2005, FAKT1, Blatt 3



## Niveauschema von ${}^6\text{Li}$

# ${}^6\text{Li}$

**Gesamtdrehimpuls des Elektrons:**

$$J = L + S = 1 + 1/2 = 3/2 \quad (2 \ ^2P_{3/2}, \\ 2 \ ^2P_{1/2} \text{vernachlässigt})$$

**Kernspin**

$$I = 1$$

**Gesamtdrehimpuls des Atoms:**

$$F = J + I = 3/2 + 1 = 5/2, 3/2, 1/2. \\ M_F = -F, -F + 1, \dots, F$$

12 Zustände.

Wegen Spiegelungssymmetrie spalten diese auf in 2 unabhängige Systeme mit je 6 Zuständen, **positives und negatives System.**

## Zeitabhängige Schrödingergleichung:

$$\frac{i}{2\pi} \frac{\partial \Psi_n}{\partial t} = H_p(B(t), E(t)) \Psi_n(t)$$

$$H_p(B, E) = H_{hfs} + H_{mag}(B) + H_{el}(E^2)$$

## Adiabatische (quasistatische Näherung):

$B, E =$  konstante äußere Parameter.

$$H_p(B, E) \psi_n(B, E) = \epsilon_n(B, E) \psi_n(B, E)$$

$$\Psi_n(t) \approx \psi_n e^{-i\epsilon_n t}$$

$$[\epsilon_n] = \text{MHz}, \quad [t] = \mu\text{sec}$$

## Analytische Fortsetzung von $\epsilon_n(B, E)$ u. $\psi_n(B, E)$

Kette von stationären Zuständen bei kontinuierlicher Veränderung von  $B$  und  $E$  :

$$\psi_n(B(\tau), E(\tau)) = \sum_j c_{nj}(B(\tau), E(\tau)) \psi_n(B(0), E(0))$$

## Zyklische Feldveränderung: $0 \leq \tau \leq T$ :

$$B(T) = B(0), \quad E(T) = E(0).$$

$$\tau = 0 : c_{nj} = \delta_{nj};$$

$$\tau = T :$$

$$\psi_n(B(T), E(T)) = \underbrace{c_n(B(T), E(T))}_{=\pm 1} \psi_n(B(0), E(0)).$$

$$H_p = \text{reell} \Rightarrow c_{nj} = \text{reell}, \quad \psi_n(B, E) = \text{reell}.$$

-1 ist **geometrische Phase**.

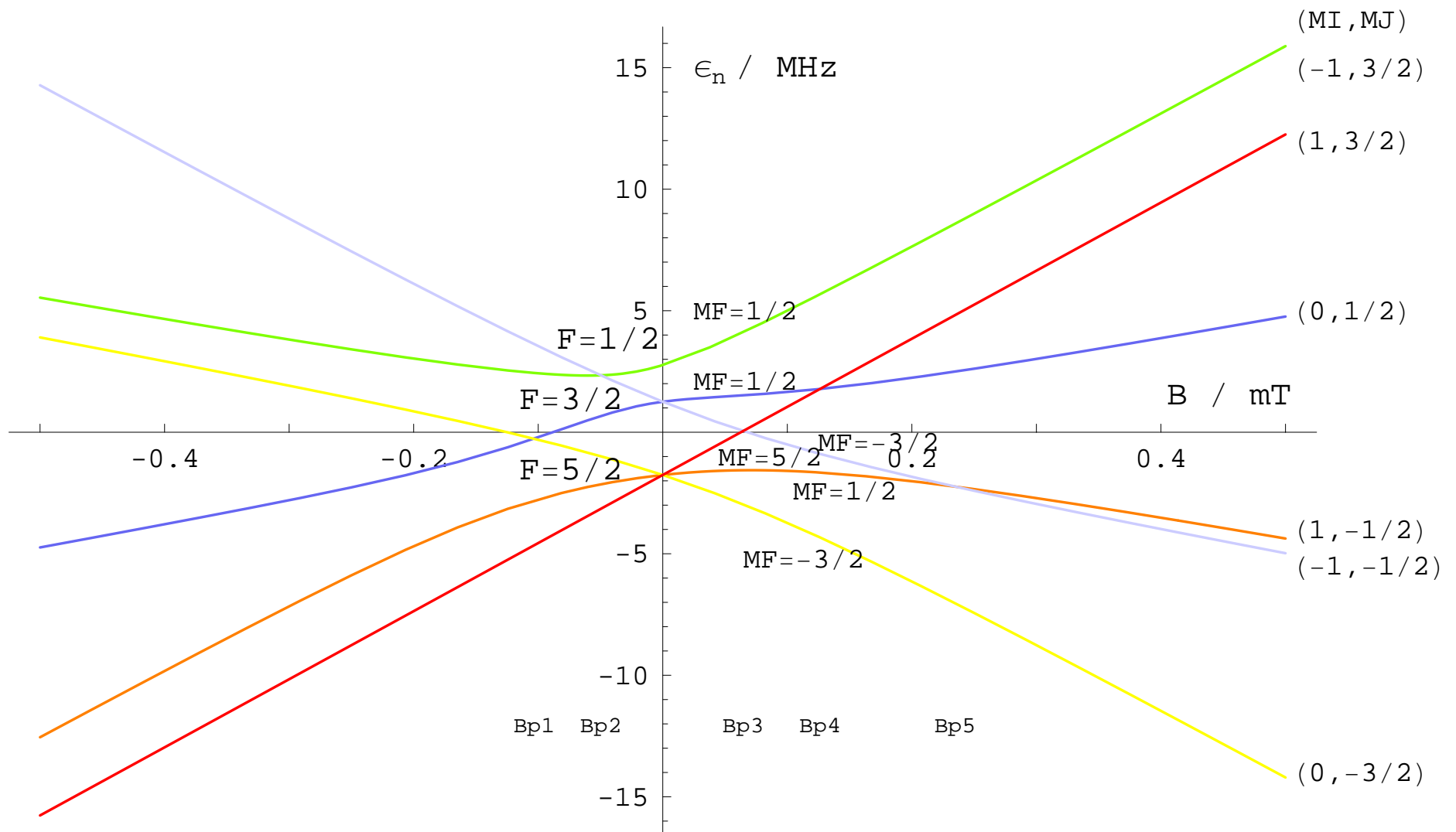


Figure 2: Zeeman-Effekt des positiven Systems von  ${}^6\text{Li}$ .  
 5 Kreuzungspunkte Bp1, ..., Bp5 .

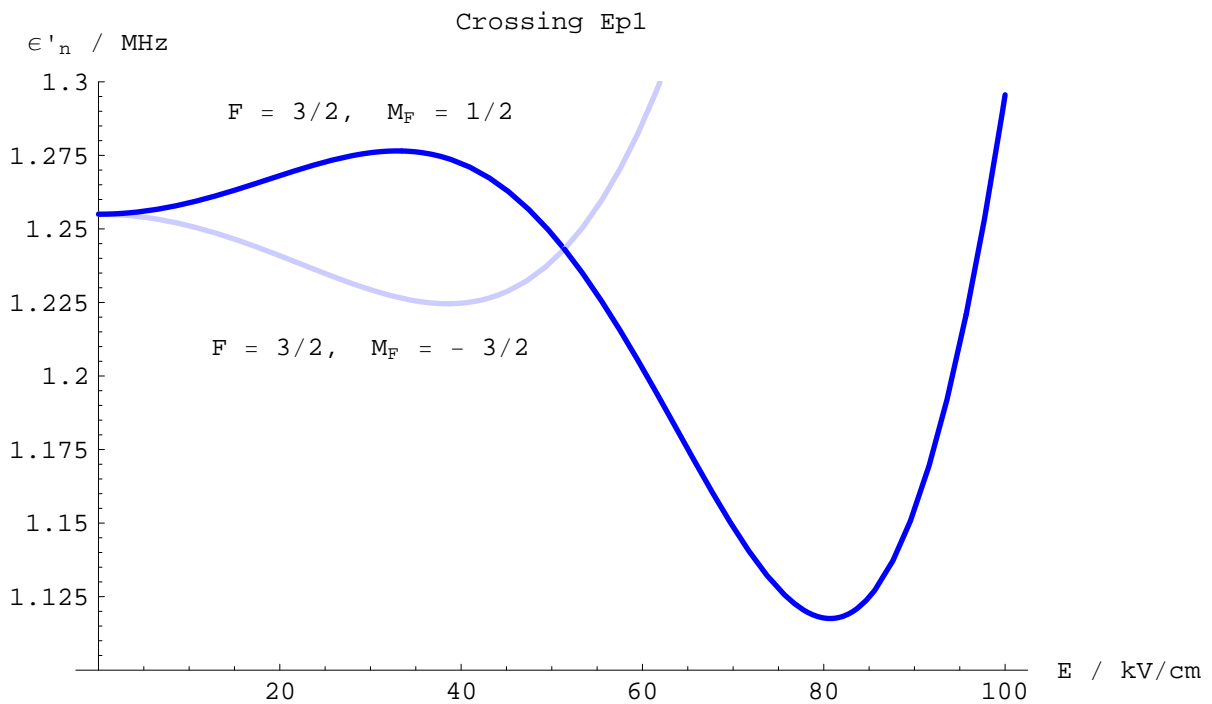
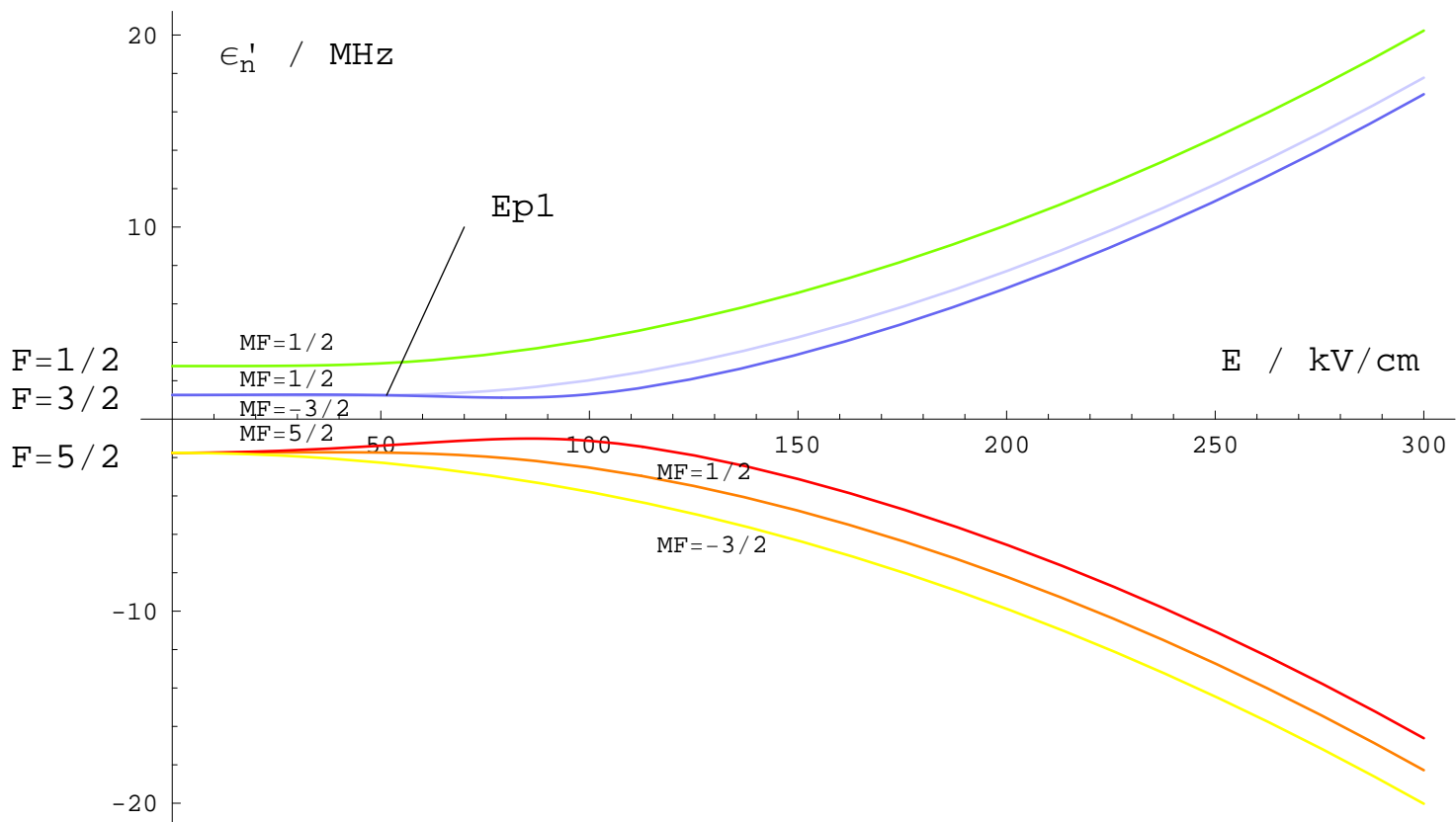


Figure 2: Stark-Effekt des positiven Systems von  ${}^6\text{Li}$ .  
 1 Kreuzungspunkte  $E_{p1}$ .



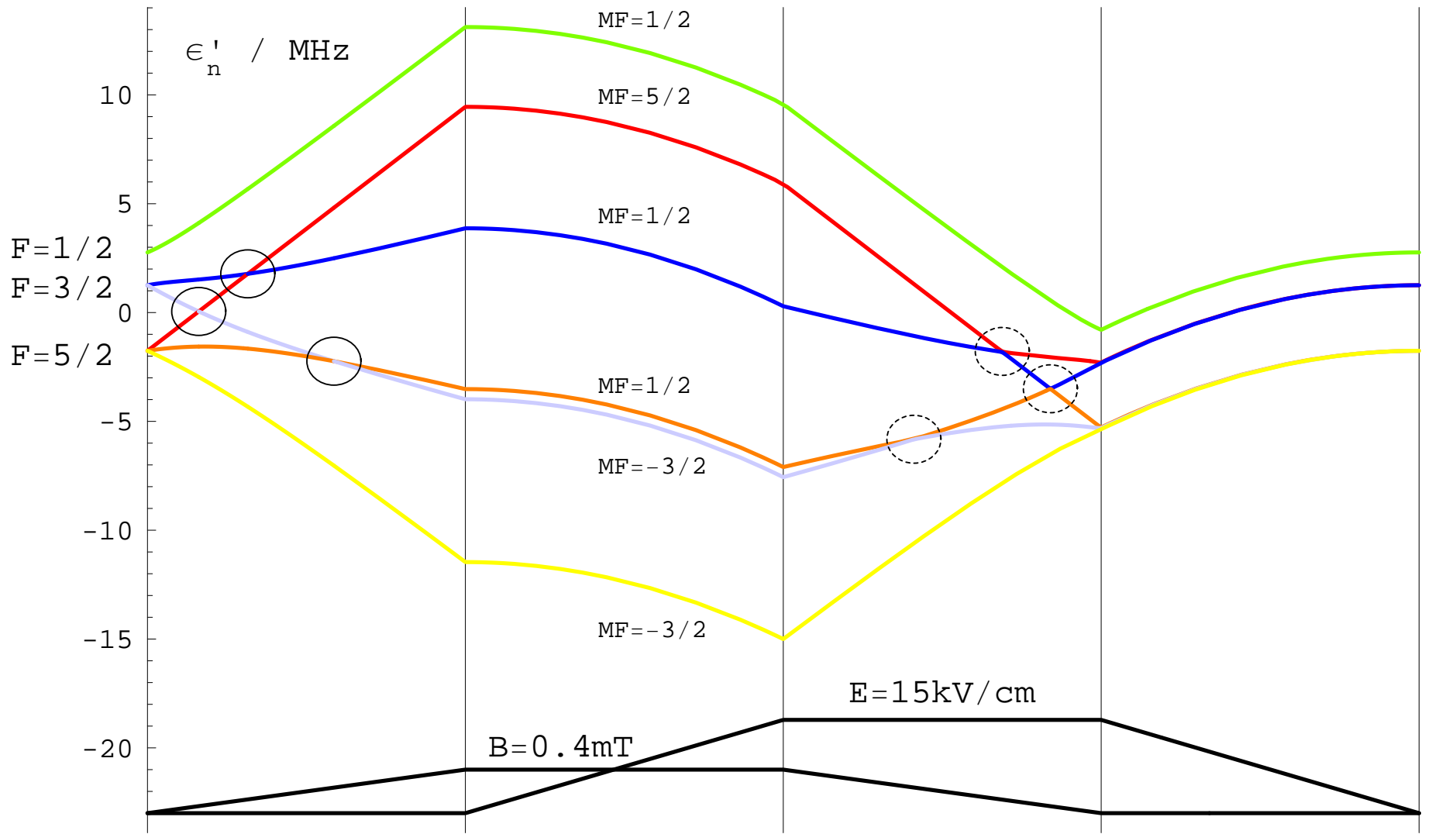


Figure 4: Crossing und Anticrossing des positiven Systems von  ${}^6\text{Li}$ . Durchgezogene (gestrichelte) Kreise bei Crossing (Anticrossing).

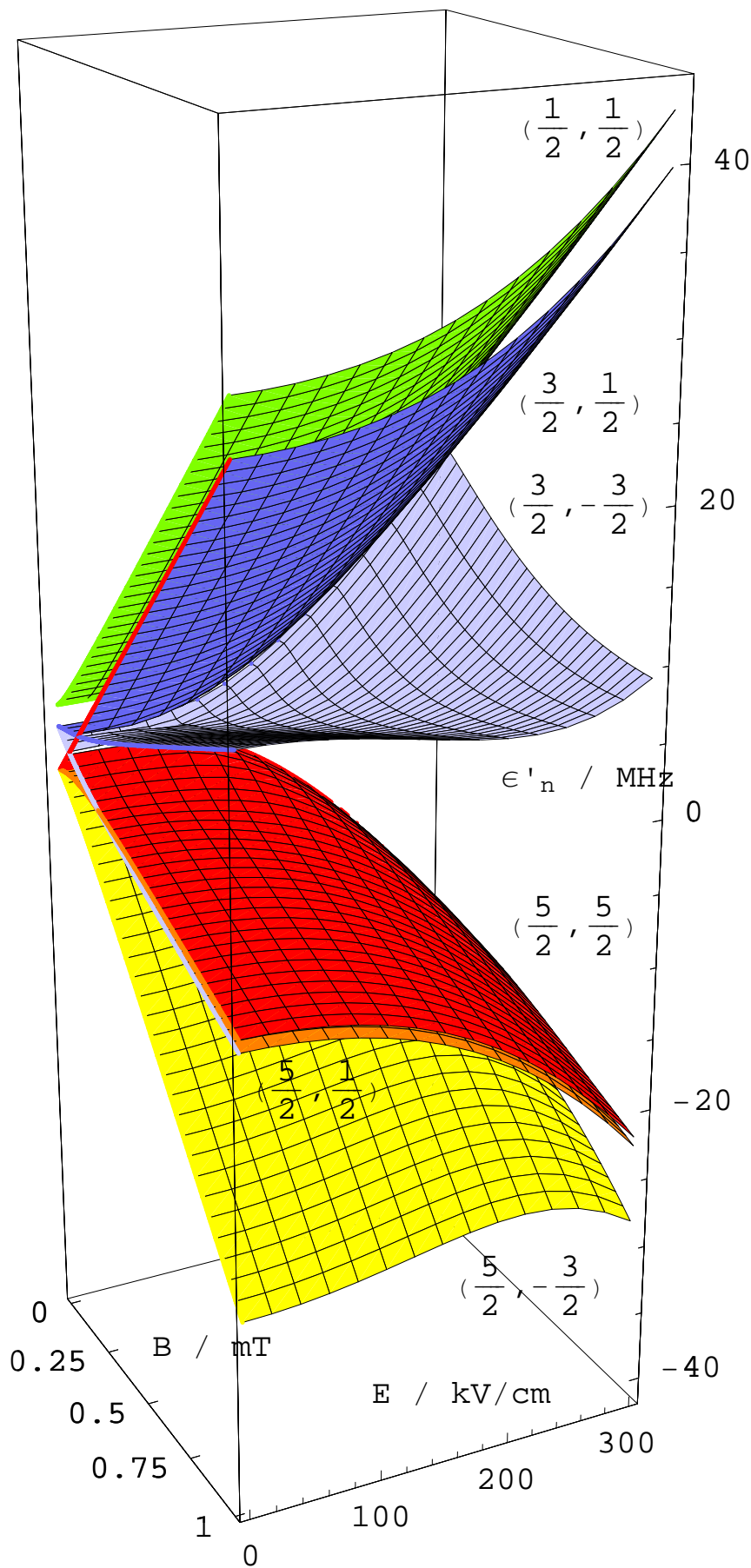


Figure 7: Energieflächen  $E_n$  für das positive System

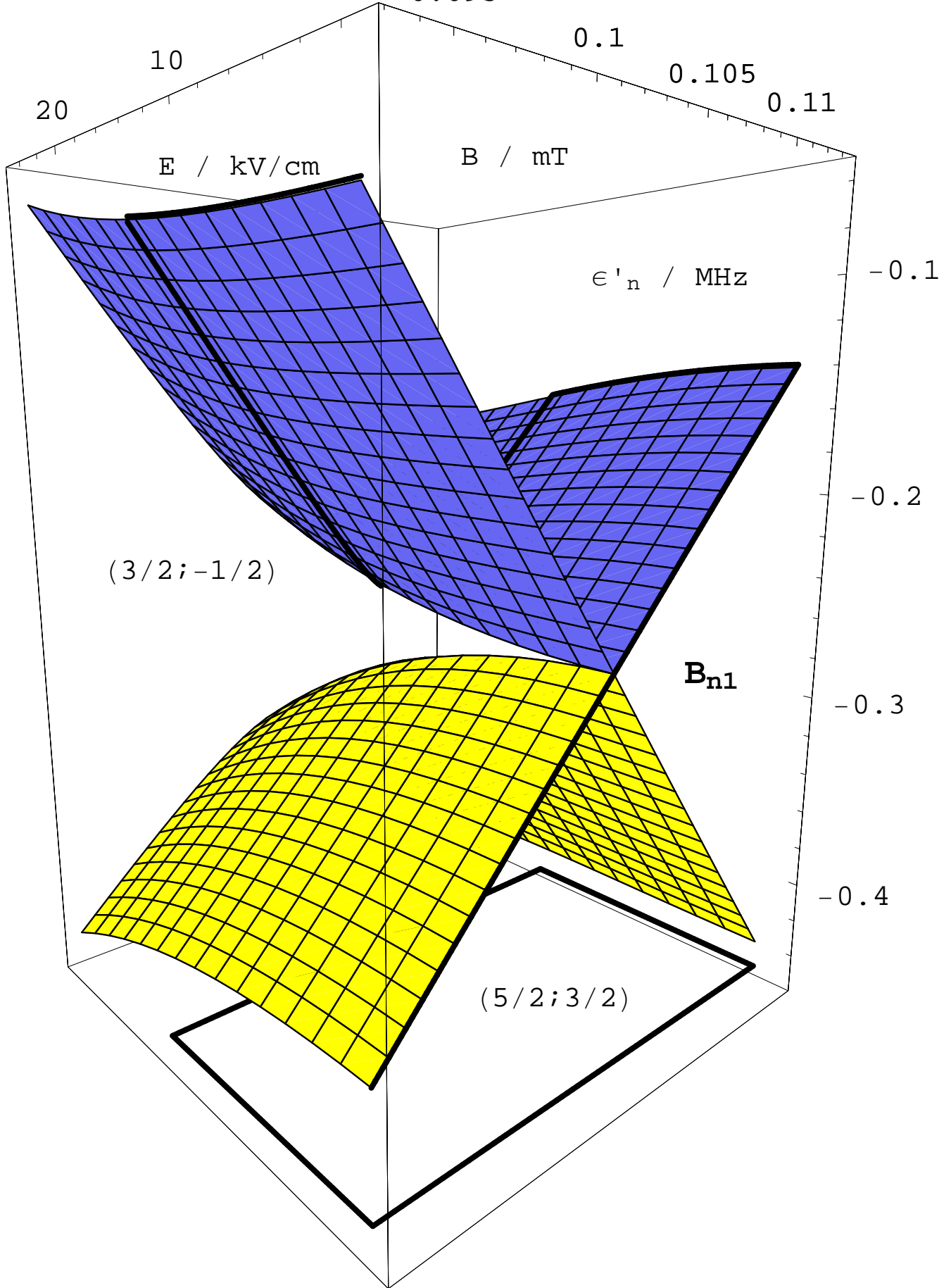


Figure 8: Wanderung des Phasenpunkts bei einem geschlossenen Zyklus durch  $B_{n1}$ .

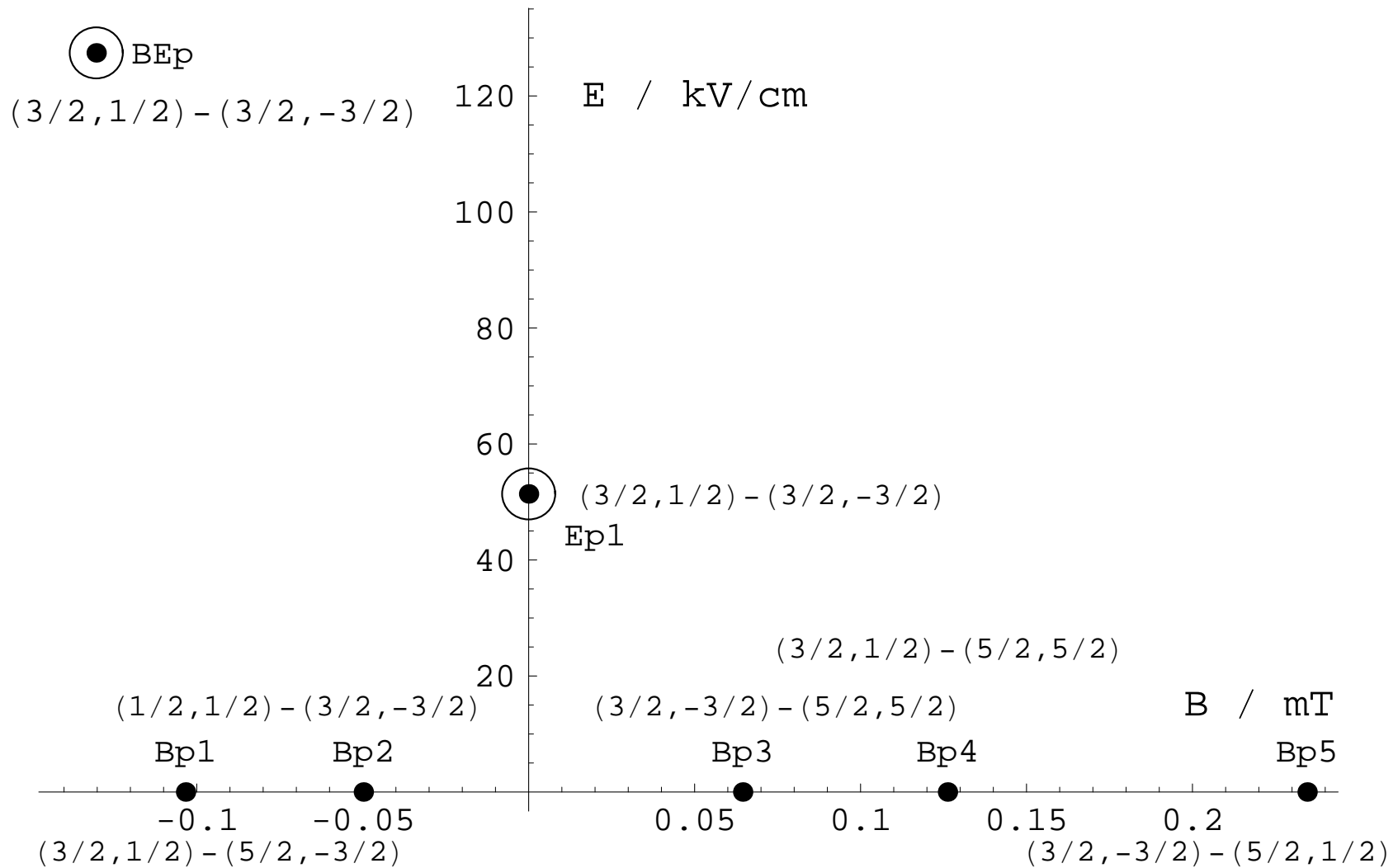


Figure 10: Die  $B, E$ -Ebene des positiven Systems von  ${}^6\text{Li}$ .

7 Kreuzungspunkte  $\text{Bp1}, \dots, \text{Bp5}, \text{Ep1}$ . Kreise umgeben solche mit geometrischer Phase:  $\text{Ep1}, \text{BEp}$ .

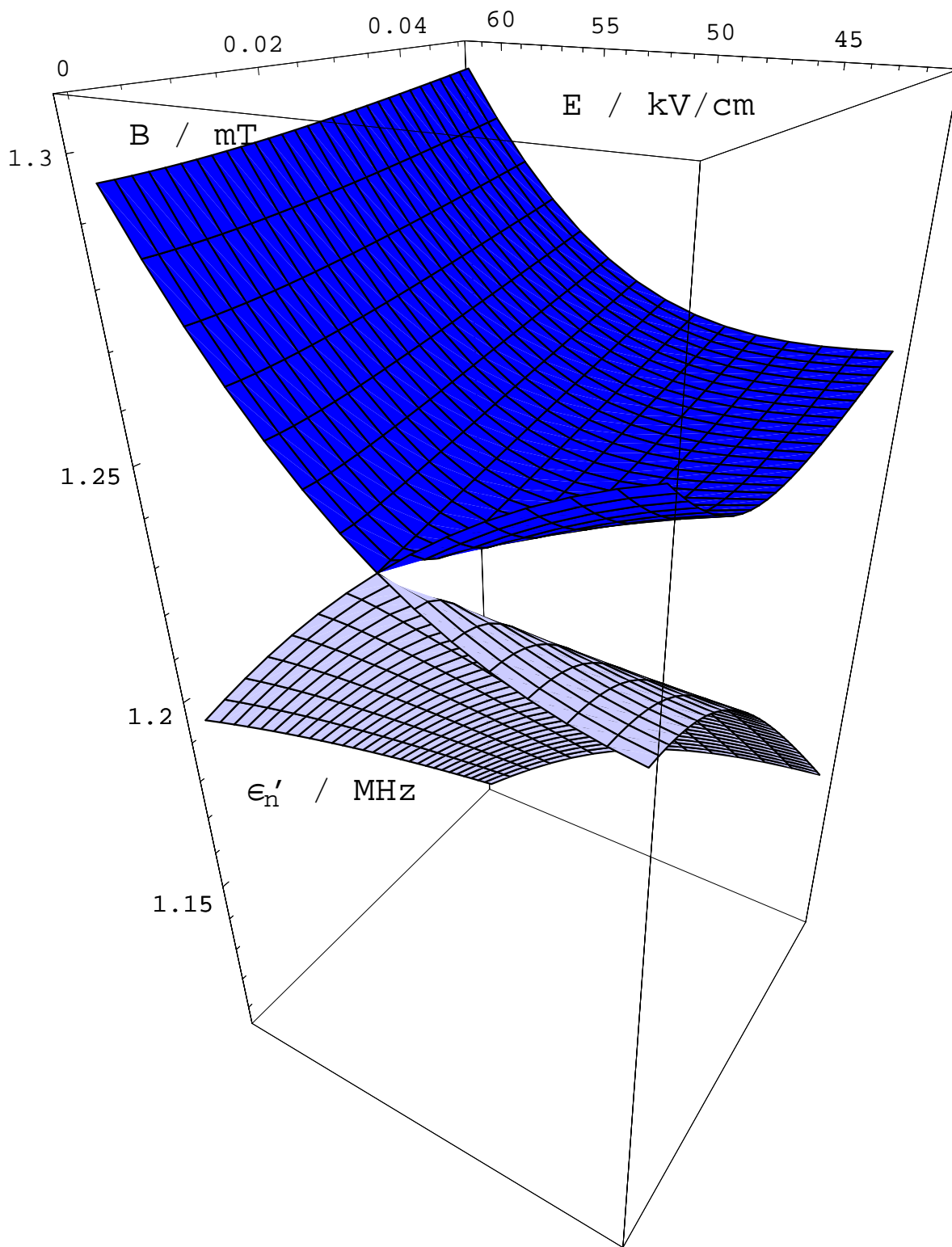


Figure 8: Gestalt der Energieflächen bei  $E_{p1}$  entspricht einem Doppelkegel.

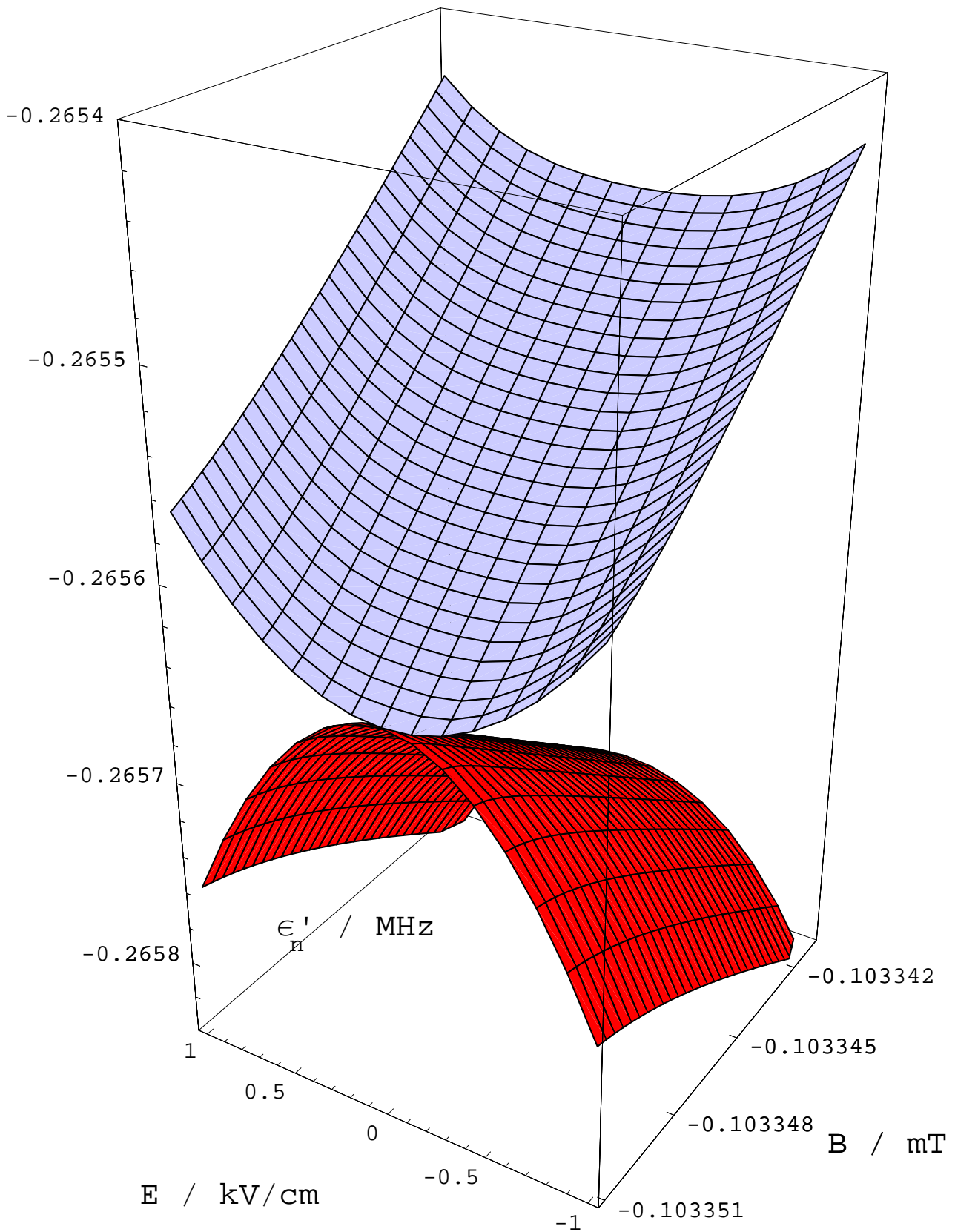


Figure 11: Gestalt der Energieflächen bei  $B_{p1}$  entspricht **keinem** Kegelschnitt; oskulierend in der  $E$ -Richtung, kreuzend in der  $B$ -Richtung.

**Dynamische Phase:**  $\phi_j^{(d)}$

$$\Psi_n(t) = \sum_j d_{nj}(t) e^{-i\phi_j^{(d)} t} \psi_n(B(t), E(t))$$

$$\phi_j^{(d)} = 2\pi \int_0^t dt' \epsilon_n(B(t'), E(t')).$$

**Zyklische Feldveränderung:**  $0 \leq t \leq T$  :  
 $B(T) = B(0), E(T) = E(0)$ .

$$t = 0 : \Psi_n(0) = \psi_n(B(0), E(0)) \Rightarrow d_{nj} = \delta_{nj};$$

$t = T$  :

$$\Psi_n(t) = \psi_n(B(0), E(0)) \underbrace{e^{-i\phi_n^{(g)} T}}_{\text{geo.Ph.}} \underbrace{e^{-i\phi_j^{(d)}(T)}}_{\text{dyn.Ph.}}.$$

Geometrischer Faktor:  $e^{-i\phi_n^{(g)} T} = +1$  oder  $-1$ .

Allgemeine Formel für geometrische Phase:

$$\begin{aligned} \phi_n^{(g)}(T) = & \int_{B(0), E(0)}^{B(T), E(T)} dB' dE' \times \\ & \times \underbrace{\mathfrak{S}[\langle \psi_n(B', E') | \nabla_{B,E} | \psi_n(B', E') \rangle]}_{=0} \end{aligned}$$

ist hier nicht anwendbar.

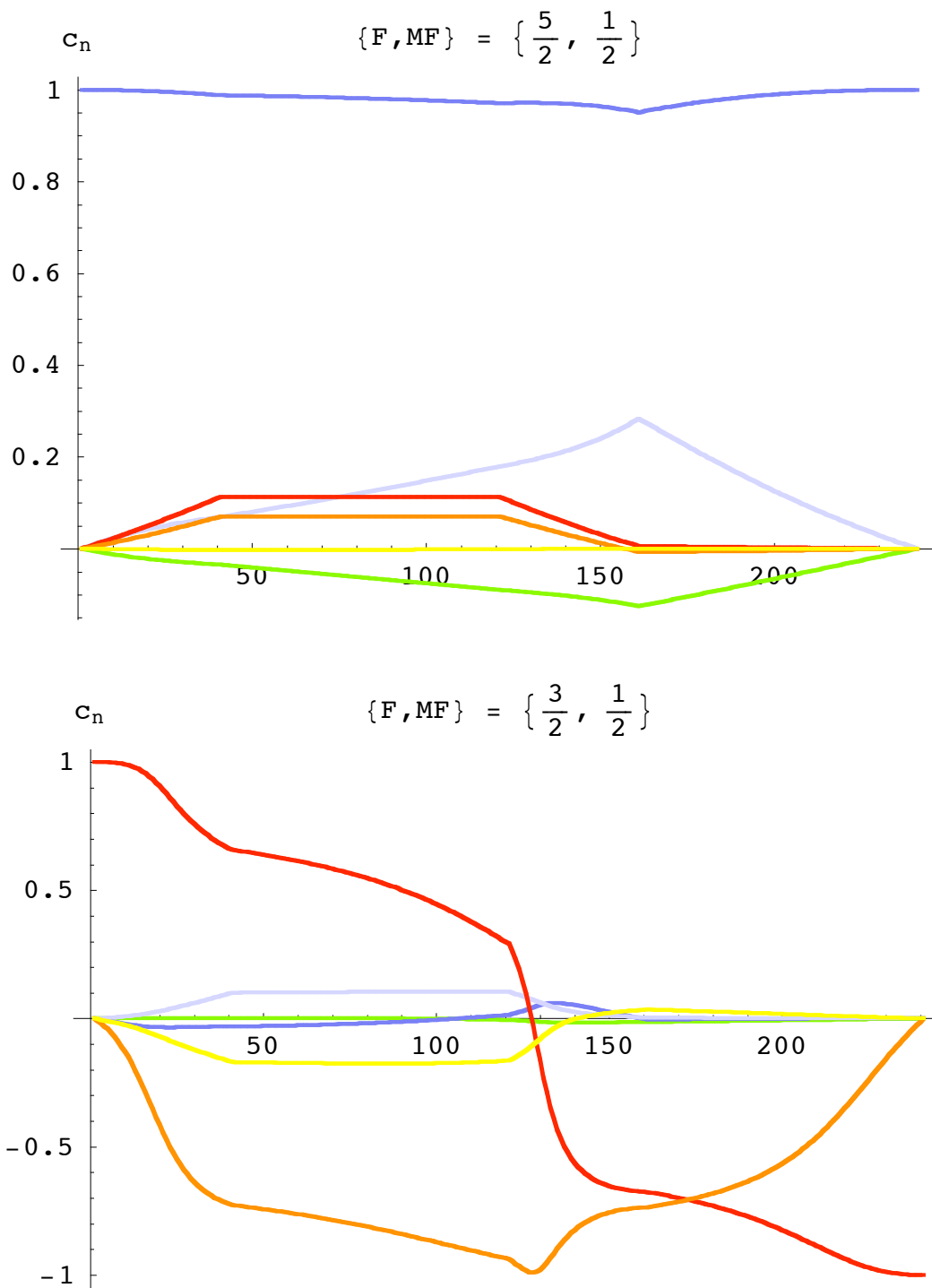
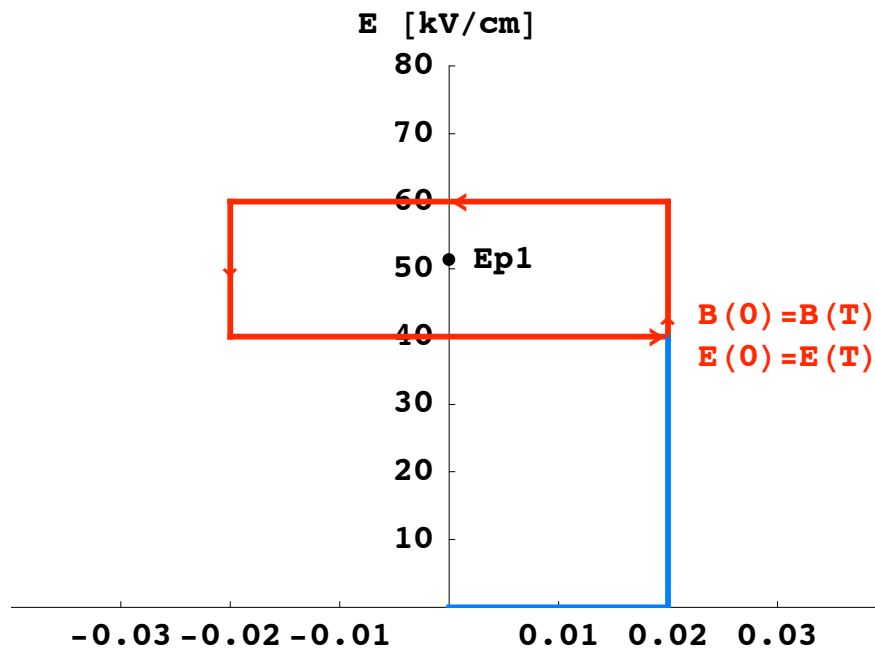


Figure 12: Adiabatische Entwicklungskoeffizienten für einen Zyklus um den Kreuzungspunkt  $Ep_1$





# Geometrische und dynamische Phase

F	$M_F$	Geo.Ph.	Dyn.Ph
5/2	5/2	0	-53873.4
5/2	1/2	0	-53213.
5/2	-3/2	0	-52740.6
3/2	1/2	$\pm\pi$	-49484.4
3/2	-3/2	$\pm\pi$	-49404.1
1/2	1/2	0	-47339.7